

卷积 $(f \star h)(x,y) = \sum_{m=0}^{M-1} \sum_{n=0}^{N-1} f(m,n)h(x-m,y-n)$

相关 $(f \star h)(x,y) = \sum_{m=0}^{M-1} \sum_{n=0}^{N-1} f^*(m,n)h(x+m,y+n)$

使用 DFT 算法求 IDFT $MNf^*(x,y) = \sum_{u=0}^{M-1} \sum_{v=0}^{N-1} F^*(u,v)e^{-j2\pi(xu/M+\nu y/N)}$ 结果取复共轭并除以 MN 就可得到反变换;**共轭对称性** $F(-u,-v) = F^*(u,v)$

离散单位冲激 $\delta(x,y) \Leftrightarrow 1, 1 \Leftrightarrow MN\delta(u,v)$

卷积定理 $(f \star h)(x,y) \Leftrightarrow (F \cdot H)(u,v) \parallel (f \cdot h)(x,y) \Leftrightarrow \frac{1}{MN}(F \star H)(u,v)$

平移性 $f(x,y)e^{j2\pi(u_0x/M+\nu_0y/N)} \Leftrightarrow F(u-u_0,v-v_0)$

$f(x-x_0,y-y_0) \Leftrightarrow F(u,v)e^{-j2\pi(xu_0/M+\nu y_0/N)}$

$\delta(x-a,y-b) \Leftrightarrow e^{-j2\pi(ua+vb)}$

频率域滤波

(1)对图像 f(x,y)进行零填充(长宽均变为两倍，变为 $P \times Q$

(2)频谱中心化：用 $(-1)^{x+y} = e^{j\pi(x+y)}$ 乘以填充后的图像

(3)计算(2)结果的 DFT，即 $F(u,v)$;

(4)用滤波器函数(中心在 $(P/2,Q/2)$) $H(u,v)$ 乘以 $F(u,v)$ ：

$G(u,v) = H(u,v)F(u,v)$

(5)计算(4)结果中的 IDFT， $g(x,y) = F^{-1}(G(u,v))$ 理论值为实数，计算误差会导致寄生复成分

(6)得到(5)结果中的实部;

(7)用 $(-1)^{i(x+y)}$ 乘以(6)中的结果

(8)提取(7)中的左上角(与输入图像同大小)。

低通频率域滤波器

理想低通滤波器 ILPF D_0 为截止频率; $D(u,v) =$

$[u-M/2)^2 + (v-N/2)^2]$; $H(u,v) = \begin{cases} 1, & D(u,v) \leq D_0 \\ 0, & D(u,v) > D_0 \end{cases}$

截止频率位置 D_0 决定了通过的频率成分所包含的功率, 以及在总功率中所占的比例

总功率 $P_T = \sum_{u=0}^{P-1} \sum_{v=0}^{Q-1} P(u,v) = \sum_{u=0}^{P-1} \sum_{v=0}^{Q-1} |F(u,v)|^2$ 在 $D(u,v)$ 内的功率占比 $\alpha =$

$100 \sum_u \sum_v P(u,v)/P_T$ where $D(u,v) \leq D_0$

理想的低通滤波器无法通过电子元件实现;通过计算机模拟会出现模糊与振铃现象

巴特沃斯 BLPF $H(u,v) = \frac{1}{1+[D(u,v)/D_0]^{2n}}$ ；高斯 GLPF

$H(u,v) = e^{-D^2(u,v)/2D_0^2}$ 无振铃效应

例子:低分辨率文本字符修复,面部柔和,去除传感器扫描线

高通滤波器

对低通滤波相反操作得到高通：

$H_{HP}(u,v) = 1 - H_{LP}(u,v)$; $h_{HP} = \delta(x,y) - h_{LP}(x,y) \neq 1 - h_{LP}(x,y)$

理想 IHPF: $H(u,v) = \begin{cases} 0, & D(u,v) \leq D_0 \\ 1, & D(u,v) > D_0 \end{cases}$

巴特沃斯: $H(u,v) = \frac{1}{1+[D_0/D(u,v)]^{2n}}$ ；高斯: $H(u,v) = 1 - e^{-D^2(u,v)/2D_0^2}$

频域拉普拉斯算子: $H(u,v) = -4\pi^2(u^2 + v^2)$ 中心化版

$H(u,v) = -4\pi^2[(u-P/2)^2 + (v-Q/2)^2] = -4\pi^2D^2(u,v)$

基于锐化滤波的图像增强 $g(x,y) = f(x,y) + c\nabla^2 f(x,y)$;其中二阶梯度傅里叶变换为 H^*

高提升滤波: $H_{hb}(u,v) = (A-1) + H_{hp}(u,v)$

高频加强滤波: $H_{hfe}(u,v) = a + bH_{hp}(u,v)$ a 控制原始贡献，b 控制高通贡献

同态滤波 $H(u,v) = (\gamma_H - \gamma_L) [1 - e^{-c(D^2(u,v)/D_0^2)}] + \gamma_L$ 衰减图像的低频成分（光照分量），增强高频成分（反射分量）

其中 $\gamma_L < 1$ 低频成分增益因且 $\gamma_H > 1$ 高频成分增益因子;c用于控制滤波器函数斜面的锐化

带阻滤波器

理想带阻(IBRF) $H(u,v) = \begin{cases} 0 & C_0 - \frac{W}{2} \leq D(u,v) \leq C_0 + \frac{W}{2} \\ 1 & \text{其他情况} \end{cases}$ 高斯带阻

(GBRF) $H(u,v) = 1 - e^{-\left(\frac{D^2(u,v)-C_0^2}{D(u,v)W}\right)}$

巴特沃斯带阻 (BBRF) $H(u,v) = \frac{1}{1+\left(\frac{D(u,v)W}{D_0^2(u,v)-C_0^2}\right)^{2n}}$ 带阻作用:

去除摩尔纹;去除周期干扰

快速傅里叶变换

利用傅里叶变换基底性质，将 M 个数据的傅里叶变换转为2组 $\frac{M}{2}$ 个数据的傅里叶变换，此时计算量从 M^2 降低为 $\frac{M^2}{2}$ $F(u) = \sum_{x=0}^{K-1} f(2x)W_{2K}^{u(2x)} + \sum_{x=0}^{K-1} f(2x+1)W_{2K}^{u(2x+1)\frac{1}{2}}$ 偶数部分+奇数部分

$W_M = e^{-j2\pi/M}$; $W_M^{ux} = (W_M)^{ux} = e^{-j2\pi ux/M}$; $W_{2K}^{2ux} = W_K^{ux}$

$F_{even}(u) = \sum_{x=0}^{K-1} f(2x)W_K^{ux}$ $F_{odd}(u) = \sum_{x=0}^{K-1} f(2x+1)W_K^{ux}$

$F(u) = F_{even}(u) + F_{odd}(u)W_{2K}^u$

$F(u+K) = F_{even}(u) - F_{odd}(u)W_{2K}^u$

第五章：图像复原与重建

图像退化/复原模型

建模图像退化为用 h 算子和 f 运算,加上加性噪声 η ,生成一幅退化图像 g

空域: $g(x,y) = (h \star f)(x,y) + \eta(x,y)$;频域: $G(u,v) = H(u,v)F(u,v) + N(u,v)$

噪声模型

高斯 $p(z) = \frac{1}{\sqrt{\frac{1}{2\pi}}e^{-\frac{1}{2}(z-\bar{z})^2/\sigma^2}}$;**瑞利** $p(z) = \begin{cases} \frac{2}{\pi}(z-a)e^{-(z-a)^2/2\sqrt{b}\pi\sigma^2}, & z \geq a \\ 0, & z < a \end{cases} \parallel \bar{z} = a + \sqrt{\pi b/4}, \sigma^2 = \frac{b(4-\pi)}{4}$

爱尔兰（伽马） $p(z) = \begin{cases} \frac{a^b}{\Gamma(b)}z^{b-1}e^{-az}, & z \geq 0 \\ 0, & z < 0 \end{cases} \parallel \bar{z} = \frac{b}{a}, \sigma^2 = \frac{b}{a^2}$

a>0,b 正整数

指数 $p(z) = \begin{cases} a e^{-az}, & z \geq 0 \\ 0, & z < 0 \end{cases} \parallel \bar{z} = \frac{1}{a}, \sigma^2 = \frac{1}{a^2}$

均匀 $p(z) = \begin{cases} \frac{1}{b-a}, & a \leq z \leq b \\ 0, & \text{otherwise} \end{cases} \parallel \bar{z} = \frac{a+b}{2}, \sigma^2 = \frac{(b-a)^2}{12}$;**椒盐**

$p(z) = \begin{cases} P_p, & z=0 \\ 1-(P_s+P_p), & z=V \end{cases}$

场景:高斯电子电路随机波动引起,或者传感器在低光照高温工作产生的噪声;瑞利模拟随机波动;伽马和指数模拟激光成像;均匀:随机数在指定范围内均匀分布;椒盐:成像设备中的瞬时故障或错误

噪声估计参数参数 $\bar{z} = \sum_{i=0}^{L-1} z_i P_S(z_i)$ $\sigma^2 = \sum_{i=0}^{L-1} (z_i - \bar{z})^2 P_S(z_i)$

只存在噪声的复原——空间滤波

仅被加性噪声退化后: $g(x,y) = f(x,y) + \eta(x,y)$ $G(u,v) = F(u,v) + N(u,v)$ (噪声未知)

当仅有加性噪声时，可考虑空间滤波方法，利用图像相邻像素之间的的相似性，降低噪声的影响，甚至可以有效去除噪声。

均值滤波

S_{xy} 表示中心在(x,y)，尺寸为 $m \times n$ 的矩形子图像窗口
算术平均 $\hat{f}(x,y) = \frac{1}{mn} \sum_{(r,c) \in S_{xy}} g(r,c)$;平滑图像的局部变化;在模糊了结果的同时减少了噪声

几何平均滤波 $\hat{f}(x,y) = \left[\prod_{(r,c) \in S_{xy}} g(r,c) \right]^{\frac{1}{mn}}$;平滑度可以与算术均值相比;图像细节丢失更少
谐波平均滤波 $\hat{f}(x,y) = \frac{mn}{\sum_{(r,c) \in S_{xy}} \frac{1}{g(r,c)}}$ 适用“盐粒”和类似高斯噪声的噪声，不适用于“胡椒”;

反谐波波平均 $\hat{f}(x,y) = \frac{\sum_{(r,c) \in S_{xy}} g(r,c)Q^{+1}}{\sum_{(r,c) \in S_{xy}} g(r,c)^Q}$ Q 称为滤波器的阶数,>0 用于胡椒, <0 用于盐粒,=0 变为算数平均,=-1 变为谐波平均

统计排序

中值 $\hat{f}(x,y) = median_{(r,c) \in S_{xy}} \{g(r,c)\}$ 与大小相同的线性平滑(均值)滤波相比，有效地降低某些随机噪声，且模糊度要小得多;对于单极和双极冲激噪声效果好

最大值 $\hat{f}(x,y) = \max_{(r,c) \in S_{xy}} \{g(r,c)\}$ 发现最亮点;过滤胡椒
最小值 $\hat{f}(x,y) = \min_{(r,c) \in S_{xy}} \{g(r,c)\}$ 发现最暗点;过滤盐粒
中点 $\hat{f}(x,y) = \frac{1}{2} [\max_{(r,c) \in S_{xy}} \{g(r,c)\} + \min_{(r,c) \in S_{xy}} \{g(r,c)\}]$ 统计排序滤波器和平均滤波器;适合处理随机分布的噪声，如高斯噪声和均匀噪声

修正后的阿尔法均值滤波 $\hat{f}(x,y) = \frac{1}{mn-d} \sum_{(r,c) \in S_{xy}} g_R(r,c)$ 在 S 邻域内去掉 $g(r,c)$ 最高灰度值的 $d/2$ 和最低灰度值的 $d/2$ $g_R(r,c)$ 代表剩余的 $mn-d$ 个像素. $d=0$ 变为算数平均; $d=mn-1$ 变为中值;当 d 取其它值时，适用于包括多种噪声的情况下，例如高斯噪声和椒盐噪声混合的情况。

自适应

用 S_{xy} 的区域内图像的统计特征进行处理

自适应局部降噪

$g(x,y)$ 表示噪声图像在点 (x,y) 上的值; σ_η^2 噪声方差 $\bar{z}_{S_{xy}}$ 在 S_{xy} 上像素点的局部平均灰度; $\sigma_{S_{xy}}^2$ 在 S_{xy} 上像素点的局部方差;假设 $\sigma_\eta^2 \leq \sigma_{S_{xy}}^2$

$\hat{f}(x,y) = g(x,y) - \frac{\sigma_\eta^2}{\sigma_{S_{xy}}^2} [g(x,y) - \bar{z}_{S_{xy}}]$

自适应中值

z_{min} 是 S_{xy} 中的最小灰度值; z_{max} 是 S_{xy} 中的最大灰度值; z_{med} 是 S_{xy} 中的灰度值的中值; z_{xy} 是坐标 (x,y) 处的灰度值; S_{max} 是 S_{xy} 允许的最大尺寸。

层次 A: 若 $z_{min} < z_{med} < z_{max}$,则转到层次B 否则，增 S_{xy} 的尺寸，

若 $S_{xy} \leq S_{max}$,则重复层次 A 否则，输出 z_{med}

层次 B: 若 $z_{min} < z_{xy} < z_{max}$,则输出 z_{xy} 否则，输出 z_{med}
普通的中值消除噪声的同时导致图像细节明显缺失;自适应中值能够额外保留图像细节

频域滤波降低周期噪声

陷波滤波器:阻止或通过事先定义的频率矩形邻域中的频率
 $H_{NR}(u,\nu) = \prod_{k=1}^Q H_{-k}(u,\nu)H_{-k}(u,\nu)$
 $H_{k(u,\nu)}$ 和 $H_{-k}(u,\nu)$ 分别是中心为 (u_k, ν_k) 和 $(-u_k, -\nu_k)$ 的高通滤波器传递函数; $D_k(u,v) = [(u-M/2-u_k)^2 + (v-N/2-\nu_k)^2]^{1/2}$; $D_{-k}(u,v) = [(u-M/2+u_k)^2 + (v-N/2+\nu_k)^2]^{1/2}$
n 阶巴特沃斯陷波带阻(3 陷波对) $H_{NR}(u,\nu) = \prod_{k=1}^3 \left[\frac{1}{1+[D_{0k}/D_k(u,\nu)]^{2n}} \right] \left[\frac{1}{1+[D_{0k}/D_{-k}(u,\nu)]^{2n}} \right]$
陷波带通滤波器(NR为带阻) $H_{NP}(u,\nu) = 1 - H_{NR}(u,\nu)$

存在多个干扰分量时，简单的滤波器传递函数在滤波过程中可能过多地滤除图像信息

最优陷波:1.分离干扰模式的各个主要贡献;2.从被污染图像中减去该模式的一个可变化部分
假设 G 是被污染图像 DFT 1.算出 η , $N(u,\nu) = H_{NP}(u,\nu)G(u,\nu)$ $\eta(x,y) = F^{-1}\{H_{NP}(u,\nu)G(u,\nu)\}$
 $\hat{f}(x,y) = g(x,y) - w(x,y)\eta(x,y)$
2.求可变化加权部分 $w(x,y) = \frac{\eta\eta^*-\eta\eta}{\eta^2-\eta^2}$

线性位置不变退化

如果退化模型为线性和位置不变的,则满足 Ch5 顶部建模的空域,频域表达式.许多退化类型可以近似表示为线性的位置不变过程；而非线性的与位置有关的技术难以求解。

估计退化函数

1.观察法:收集图像自身的信息来估计 H; 2.试验法:使用与获取退化图像的的设备相似的装置; 3.数学建模法:建立退化模型，模型要把引起退化的环境因素考虑在内

逆滤波

$\hat{F}(u,v) = \frac{G(u,v)}{H(u,v)} = F(u,v) + \frac{N(u,v)}{H(u,v)}$;问题:N 一般未知,挡 H 的任何元素为 0 或者较小时,后面分数项主导了结果;解决方法:限制滤波频率,从而减少遇到零值的可能性(H(0,0)的值最大).

最小均方误差（维纳）滤波

$S_{f(u,v)} = |F(u,v)|^2$ 为未退化函数功率； $S_\eta(u,v) = |N(u,v)|^2$ 为噪声功率谱；

$\hat{F}(u,v) = \left[\frac{1}{\frac{1}{H(u,v)} |H(u,v)|^2 + S_\eta(u,v)/S_f(u,v)} \right] G(u,v)$
假设两个功率谱之比为常数 K,有 $\hat{F}(u,v) = \left[\frac{1}{\frac{1}{H(u,v)} |H(u,v)|^2 + K} \right] G(u,v)$ K 通常在复原时调整

信噪比:频域 SNR = $\frac{\sum_{u=0}^{M-1} \sum_{v=0}^{N-1} |F(u,v)|^2}{\sum_{u=0}^{M-1} \sum_{v=0}^{N-1} |N(u,v)|^2}$ 空域SNR = $\frac{\sum_{x=0}^{M-1} \sum_{y=0}^{N-1} f(x,y)^2}{\sum_{x=0}^{M-1} \sum_{y=0}^{N-1} [f(x,y)-\bar{f}(x,y)]^2}$ 均方误差 MSE = $\frac{1}{MN} \sum_{x=0}^{M-1} \sum_{y=0}^{N-1} [f(x,y) - \hat{f}(x,y)]^2$

约束最小二乘方滤波

约束 $|g - H\hat{f}|^2 = |\eta|^2$ 准则函数最小化 $C = \sum_{x=0}^{M-1} \sum_{y=0}^{N-1} [\nabla^2 f(x,y)]^2$
最佳问题的解 $\hat{F}(u,v) = \left[\frac{H^*(u,v)}{|H(u,v)|^2 + \gamma |P(u,v)|^2} \right] G(u,v)$ 当 $\gamma = 0$ 时,退变成逆滤波

P(u,v) 为 p(x,y) 的傅里叶变换 p(x,y)为拉普拉斯空间卷积核

估计 γ :设 $\|\mathbf{r}\|^2 = \|\mathbf{g} - H\hat{f}\|^2$,通过 $\|\mathbf{r}\|^2 = \|\eta\|^2 \pm a$,由于 r 关于 γ 单调, $\|\mathbf{r}\|^2 < \|\eta\|^2 - a$ 增加 γ ; $\|\mathbf{r}\|^2 > \|\eta\|^2 + a$ 减少 γ

估计 $\|\eta\|^2$: $\|\eta\|^2 = MN[\sigma_\eta^2 + \bar{\eta}^2]$ 用方差和均值

几何均值滤波

$\hat{F}(u,v) = \left[\frac{H^*(u,v)}{|H(u,v)|^2} \right]^a \left[\frac{H^*(u,v)}{[|H(u,v)|^2 + \beta \left[\frac{S_\eta(u,v)}{S_f(u,v)} \right]]} \right]^{1-a}$

当 $\alpha = 0$ 时,滤波器退化为逆滤波器;当 $\alpha = 0$ 时,滤波器退化为参数维纳滤波器;当 $\alpha = 0, \beta = 1$ 时,滤波器退化为标准维纳滤波器;当 $\alpha = \frac{1}{2}$ 时,滤波器为几何均值滤波器;当 $\beta = 1, \alpha$ 减到 $\frac{1}{2}$ 以上,它接近逆滤波器;当 $\beta = 1, \alpha$ 减到 $\frac{1}{2}$ 以下,它接近维纳滤波器;当 $\beta = 1, \alpha = \frac{1}{2}$ 时,它被称为谱均衡滤波器；

第六章：彩色图像处理

彩色基础

红,绿,蓝量用 X,Y,Z 表示,叫三色值；三色系数定义: $x = \frac{X}{X+Y+Z}$; ...; $x + y + z = 1$;
描述彩色光源的质量的三个基本量：辐射亮度：从光源流出的总能量，单位为瓦特(W)；发光强度：观察者从光源感知的总能量，单位为流明(红外的光强接近零)；亮度：主观描绘子，不可测量，体现发光强度的消色概念。
区分不同颜色:色调:感知的主导色，跟主波长相关;饱和度:相对纯度，与一种色调混合的白光量;亮度:发光强度的消色概念.色调和饱和度一起称为色度

彩色模型

RGB

针对彩色显色器和彩色摄像机开发,一个颜色有 8 比特,2⁸ = 256种颜色,全彩色则是 24 比特图像

α
(
x
,
y
)
=
tan

−

1

[

g

y

(
x
,
y
)

g

x

(
x
,
y
)

]

3

.对梯度幅值图像应用非极大值抑制进行细化边缘
4.用双阈值处理和连通性分析来检测与连接边缘

非极大值抑制
寻找最接近 **α** 方向 dk,修改值*g_N(x,y)* =

{

0

M

x

(
x
,
y
)
<

d

k

向
上
的
两
个
邻
点
值

M

x

(
x
,
y
)

否
则

}

双阈值化处理*g_{NH}(x,y)* = *g_N(x,y)* ≥ *T_H* 强边缘(存在间断)
g_{NL}(x,y) = *g_N(x,y)* ≥ *T_L* 强边缘+弱边缘
g_{NL}(x,y) = *g_{NL}(x,y)* − *g_{NH}(x,y)* 弱边缘

连接边缘
满足条件则连接

|
M
(
s
,
t
)
−
M
(
x
,
y
)
|
≤
E

|
α
(
s
,
t
)
−
α
(
x
,
y
)
|
≤
A

霍夫变换
ρ(*θ*) = *x*cos*θ* + *y*sin*θ* = *R*cos(*θ* − *φ*) =

√

x

2

+

y

2

cos
⁡
(
θ
−
arctan
⁡

x
y

)

阈值处理

单阈值
g(*x,y*) =

{

1

f
(
x
,
y
)
≥
T

0

f
(
x
,
y
)
≤
T

}

双阈值
g(*x,y*) =

{

a
,

f
(
x
,
y
)
>

T

2

b
,

T

1

<
f
(
x
,
y
)
≤

T

2

c
,

f
(
x
,
y
)
≤

T

1

}

基本的全局阈值化

- 为全局阈值*T*选择一个初始估计值。
- 在 *g*(*x,y*) =

{

1

f
(
x
,
y
)
>
T

0

f
(
x
,
y
)
≤
T

}

 中用*T*分割图像。这将产生两组像素：由灰度值大于*T*的所有像素组成的*G*₁,由所有小于等于*T*的像素组成的*G*₂
- 对 *G*₁ 和 *G*₂中的像素分别计算平均灰度值(均值)*m*₁和 *m*₂
- 在*m*₁和 *m*₂之间计算一个新的阈值： *T* =

m

1

+

m

2

2
- 重复步骤 2 到步骤 4,直到连续迭代中的两个*T*值间的差小于某个预定义的阈值Δ*T*为止。

OSTU 方法:

n_i 表示灰度级 i 的像素数, *M* * *N* =

∑

L
−
1

i
=
0

n

i

p

i

=

n

i

M
N

;

∑

L
−
1

i
=
0

p

i

=
1
,

p

i

≥
0

分为两类 *c*₁, *c*₂ 累计概率 *P*₁(*k*) =

∑

k
=
0

i
=
0

p

i

;

P

2

(
k
)
=

∑

L
−
1

i
=
k
+
1

p

i

=
1
−

P

1

(
k
)

平均灰度 *m*₁(*k*) =

−
1

P

1

(
k
)

∑

k
=
0

i
=
0

i

p

i

;

m

2

(
k
)
=

1

P

2

(
k
)

∑

L
−
1

i
=
k
+
1

i

p

i

k 级累计灰度 *m*(*k*) =

∑

k
=
0

i
=
0

i

p

i

整个图像平均灰度 *m_G* =

∑

L
−
1

i
=
0

i

p

i

约束条件 *P*₁*m*₁ + *P*₂*m*₂ = *m_G*; *P*₁ + *P*₂ = 1
全局方差

σ

G

2

=

∑

L
−
1

i
=
0

(
i
−

m

G

)

2

p

i

类间方差

σ

B

2

=

P

1

(

m

1

−

m

G

)

2

+

P

2

(

m

2

−

m

G

)

2

=

P

1

P

2

(

m

1

−

m

2

)

2

=

(

m

G

P

1

−

m

2

)

2

P

1

(
1
−

P

1

)

(选择 *k* 最大化 *σ_B²*)
扩展到多阈值

σ

B

2

=

∑

K

k
=
1

P

k

(

m

k

−

m

G

)

2

;

σ

B

2

(

k

1

*,

k

2

*,
⋯,

k

K
−
1

)
=
max

0
<

k

1

<

k

2

<
⋯

k

K
−
1

σ

B

2

(

k

1

,

k

2

,
⋯,

k

K
−
1

)

区域生长
分离聚合

区域生长

- 初始种子区域**: 从种子数组 S(x,y)中找到所有连通分量，并将这些区域标记为 1，其他位置标记为 0。
- 条件筛选**: 根据谓词 Q 对图像 f(x,y)进行筛选，形成新的图像 f，其中满足条件的像素标记为 1，否则为 0。
- 区域扩展**: 将所有在图像 f 中 8 连通到种子点的 1 值点添加到 S 中，形成新的图像 g。
- 连通区域标记**: 用不同的标签标记图像 g 中的每个连通分量，得到最终的区域生长分割结果。

分离聚合
令 R 表示整个图像区域，Q 是针对区域的一个逻辑谓词
比如

Q
=

{

true

σ
>
α
∧
0
<
m
<
b

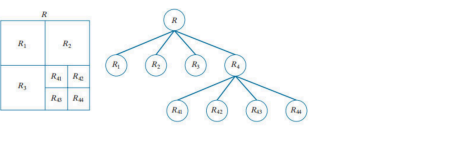
false

otherwise

}

1 把满足 Q(Ri)=FALSE 的任何 Ri 区域分离为四个不相交的子象限区域；

2 无法进一步分离时，聚合满足谓词逻辑*Q*(*R_j* ∪ *R_k*) = TRUE的任意两个邻接区域 Rj 和 Rk;
3 在无法进一步聚合时停止。



分水岭变换

- 梯度图像:，算法使用图像的梯度图像 *g*(*x,y*)，其中包含多个区域极小值 *M*_{1}, *M*_{2}, *M*_{*g*}。这些极小值对应于图像中的局部低谷。
- 汇水盆地: 每个区域极小值 *M*_{*i*} 都有一个与之相关联的汇水盆地 *C*(*M_i*)，这些汇水盆地中的点形成一个连通分量。
- 淹没过程: 算法通过模拟水位从最小值 min 逐渐上升到最大值 max 的过程来分割图像。在每个水位 *n*，集合 *T*[*n*] 包含所有灰度值小于 *n* 的点。
- 二值图像: 在每个水位 *n*，*T*[*n*] 可以被视为一幅二值图像，其中黑点表示位于平面 *g*(*x,y*) = *n* 下方的点。
- 汇水盆地分割: 随着水位上升，算法通过比较当前水位 *n* 的连通分量与前一水位 *n* − 1 的汇水盆地，来确定是否需要构建水坝以防止不同汇水盆地的水流溢出。
- 水坝构建: 当水位上升到某个点时，如果发现有多个汇水盆地的水流可能溢出，算法会在这些汇水盆地之间构建水坝（即分割线），以阻止水流混合。

缺点:受噪声影响大;容易过度分割

分割中运动的使用

基本方法: 逐像素地比较 *t_i* 和 *t_j* 两帧图像 *f*(*x,y*) 可以获得相应的差值图像:

d

i
j

(
x
,
y
)
=

{

1

f
(
x
,
y
,

t

i

)
−
f
(
x
,
y
,

t

j

)
>
T

0

其他

}

 其中 *T* 是一个非负阈值。

累积差值:将参考图像 *R*(*x,y*) 与序列中的每个后续图像进行比较。当当前图像中的像素与参考图像**不同时**，累积差分图像中每个像素的计数器会增加。在检查第 *t* 帧时，累积差分图像显示该像素与参考图像中对应像素的差次数。

绝对 ADI:

A

k

(
x
,
y
)
=

{

A

k
−
1

(
x
,
y
)
+
1

如果
|
R
(
x
,
y
)
−
f
(
x
,
y
,

t

x

)
|
>
T

A

k
−
1

(
x
,
y
)

否则

}

正 ADI:

P

k

(
x
,
y
)
=

{

P

k
−
1

(
x
,
y
)
+
1

如果
R
(
x
,
y
)
−
f
(
x
,
y
,

t

x

)
>
T

P

k
−
1

(
x
,
y
)

否则

}

负 ADI:

N

k

(
x
,
y
)
=

{

N

k
−
1

(
x
,
y
)
+
1

如果
R
(
x
,
y
)
−
f
(
x
,
y
,

t

x

)
<
−
T

N

k
−
1

(
x
,
y
)

否则

}

第十一章 特征提取

边界预处理

跟踪二值图像中 1 值区域 R 的边界算法:从左上角标记为 1 的点开始,按顺时针找 8 邻域中下一个 1,然后继续从下一个 1 开始执行算法,直到回到起点

弗里曼链码 基于链线的 4 连通或 8 连通，使用一种编号方案对每个线段的方向进行编码。用于表示由顺次连接的具有指定长度和方向的直线段组成的边界。



从起点开始,往哪个箭头方向走就标记哪个数字,直到回到起点,形状和链码是一一对应的;改变起点会让链码循环位移

归一化:循环位移后数字最小的链码

差分:相邻的做差,i 为当前 a[i+1] - a[i],最后加一个起点-终点;之后对 4 或者 8 取 mod;*D* = [(*C*₂ − *C*₁) mod *m*, (*C*₃ − *C*₂) mod *m*, ..., (*C*₁ − *C_n*) mod *m*]

形状数(差分+归一化) 将码按一个方向循环，使其构成的自然数最小序列;形状数的阶n 定义为形状数中的数字的数量。

斜率链码 在曲线周围放置**等长**的直线段得到，其中的直线段的端点与曲线相接,直线段的斜率记录链码

最小周长多边形:使用尽量少的线段来得到给定边界的基本形状;;先找所有凸起和凹陷点,然后凹顶点需要镜像;**A** =

[

a

x

a

y

1

b

x

b

y

1

c

x

c

y

1

]

 abc 三点行列式,逆时针行列式为正,顺时针为负,共线为 0

- 初始化**: 定义起始点 *V*₀、W 爬行点 *W_c*、B 爬行点 *B_c*。设置当前检查的顶点为 *V_k*。
- 条件检查**: 从 *W_c* = *B_c* = *V*₀ 开始，依次检查 *V_k* 和 *V_k* + 1 是否满足以下任一条件：
 - V_k* 位于线段对 (*V_L*, *W_c*) 的直线的正侧（即符号函数 *sgn*(*V_L*, *W_c*, *V_k*) > 0)。
 - V_k* 位于线段对 (*V_L*, *W_c*) 的直线负侧或共线，同时 *V_k* 位于线段对 (*V_L*, *B_c*) 的直线的正侧（即 *sgn*(*V_L*, *W_c*, *V_k*) < 0 且 *sgn*(*V_L*, *B_c*, *V_k*) > 0)。
 - V_k* 位于线段对 (*V_L*, *B_c*) 的直线的负侧（即 *sgn*(*V_L*, *B_c*, *V_k*) < 0)。
- 爬行更新**: 若满足以上条件之一，则更新爬行点 *W_c* 或 *B_c*，并继续搜索下一个顶点。
- 终止条件**: 当再次到达起始点（第一个顶点）时停止。所找到的点（多边形的顶点）即为 MPP 的顶点集合。

标记图:把**质心到边界的距离**画成**角度的函数**。将原始的二维边界简化为一维函数表示。

边界特征描述子

边界 B 的直径 diameter(B) = max_{i,j}[D(pi, pj)] D 为距离测度, pi 和 pj 是边界上的点。

长度length_m =

[

(

x

2

−

x

1

)

2

+
(

y

2

−

y

1

)

2

]

1
/
2

方向angle_m = arctan

[

y

2

−

y

1

x

2

−

x

1

]

 由长轴端点定义
曲线的**曲折度**定义为斜率链码链元素的绝对值之和:τ =

∑

n

i
=
1

|

α

i

|

,式中的 n 是斜率链码中的元素数量,|α_i|是链码中元素的值(斜率变化)。

傅里叶描述子:二维边界可以被视为复数从而一维化表示为 s(k) = x(k) + jy(k)

边界的傅里叶描述子*a*(*u*) =

∑

K
−
1

k
=
0

s
(
k
)

e

−
j
2
π
u
k
/
K

s
(
k
)
=

1
K

∑

u
=
0

K
−
1

a
(
u
)

e

j
2
π
u
k
/
K

只采用前 P 个系数(去除高频系数) *s*̂(*k*) =

1
K

∑

u
=
0

P
−
1

a
(
u
)

e

j
2
π
u
k
/
K

性质:旋转: *s_r(k)* = *s*(*k*)*e^{iθ}*, *a_r(u)* = *a*(*u*)*e^{iθ}*; 平移: *s_r(k)* = *s*(*k*) + Δ_{iy}, *a_r(u)* = *a*(*u*) + Δ_{iy}δ(*u*); 缩放: *s_s(k)* = α*s*(*k*), *a_s(u)* = α*a*(*u*); 起点: *s_p(k)* = *s*(*k* − *k*₀), *a_p(u)* = α(*u*)*e^{−j2πk₀μ/K}*

统计矩:1.把 g(r)的幅度视为离散随机变量 z，形成幅度直方图 p(zi),A 是灰度值最大的区间数量。将 p 归一化，使其元素之和等于 1，那么 p(zi)是灰度值 zi 的概率估计;
z 关于其平均值的 n 阶矩为 μ_n(z) =

∑

A
−
1

i
=
0

(

z

i

−
m
)

n

p

(

z

i

)

;m 是 z 的均值*m* =

∑

A
−
1

i
=
0

z

i

p
(

z

i

)

, μ₂ 是 z 的方差，只需要前几个矩来区分明显不同形状的标志图。

2.将 g(r)面积归一化为 1，并视为直方图，g(ri)可被视为值 ri 出现的概率。r 是随机变量 K 是边界上的点数， μ_n(r) 与标记图 g(r)形状直接相关

矩是 μ_n(r) =

∑

K
−
1

i
=
0

(

r

i

−
m
)

n

g
(

r

i

)

 其中*m* =

∑

K
−
1

i
=
0

r

i

g
(

r

i

)

区域特征描述子

面积 A 为区域中的**像素数量**。**周长** p 是其边界的长度;**紧致度** (无量纲)

p

2

A

;**圆度** (无量纲)

4
π
A

p

2

;**有效直径** *d_e* = 2

√
A

偏心率 标准椭圆 eccentricity =

e

a

=

√

a

2

−

b

2

a

 =

√
1
−
(
b
/
a

)

2

a
≥
b

任意方向椭圆(协方差矩阵的特征值) eccentricity =

√
1
−
(

λ

2

/

λ

1

)

2

λ

1

≥

λ

2

拓扑描述子:孔洞的数量 H 和连通分量 C 的数量,定义欧拉数 E = C - H
顶点数表示为 V，将边数表示为 Q，将面数表示为 F 时，V-Q+F=E
纹理:统计方法(和统计矩 1 类似),**光滑度** *R* = 1 −

1

1
+

σ

2

(
z
)

σ² 是方差 μ₂ ;**一致性** *U* =

∑

L
−
1

i
=
0

p

2

(

z

i

)

熵 *p* = −

∑

L
−
1

i
=
0

p
(

z

i

)

log

2

p
(

z

i

)

共生矩阵中的元素*g_{ij}*值定义为图像 f 中灰度(*z_i,z_j*)的像素对出现的**次数**;像素对不一定是左右的,可以跨格子;从*z_i*到*z_j*
下面是共生矩阵 (*K* × *K*) 的描述子, *p_{ij}* 等于 G 中第 i,j 项处于 G 的元素之和

- 最大概率**:max<sub>{

i
,
j

}</sub> *p_{ij}* 度量 G 的最强响应，值域是 [0,1]
- 相关**:

∑

K

i
=
1

∑

K

j
=
1

(
i
−

m

i

)
(
j
−

m

j

)

p

i
j

σ

r

σ

c

 σ_r ≠ 0,σ_c ≠ 0 一个像素在整个图像上与其相邻像素有多相关的测度，值域是 [−1,1]。-1 对应完全负相关，1 对应完全正相关。标准差为 0 时，该测度无定义
- 对比度**:

∑

K

i
=
1

∑

K

j
=
1

(
i
−
j

)

2

p

i
j

 一个像素在整个图像上与其相邻像素之间的灰度对比度的测度，值域是从 0 到 (*K* − 1)²
- 均匀性（也称能量）**:

∑

K

i
=
1

∑

K

j
=
1

p

2

i
j

 均匀性的一个测度，值域为 [0,1]，恒定图像的均匀性为 1
- 同质性**

∑

K

i
=
1

∑

K

j
=
1

p

i
j

1
+
|
i
−
j
|

 G 中对角分布的元素的空间接近度的测度，值域为 [0,1]。当 G 是对角阵时，同质性达到最大值
- 熵** −

∑

K

i
=
1

∑

K

j
=
1

p

i
j

log

2

p

i
j

 G 中元素的随机性的测度。当所有 *p_{ij}* 均匀分布时，熵取最大值，因此最大值为 2 log₂ *K*

极坐标下的频谱函数 *S*(*r*) =

∑

π
=
0

r

S

θ

(
r
)

 S(*θ*) =

∑

R

0

S

r

(
θ
)

矩不变量:大小为 MxN 的数字图像 f(x,y)的二维(p+q)阶矩为 *m_{pq}* =

∑

M
−
1

x
=
0

∑

N
−
1

y
=
0

x

p

y

q

f
(
x
,
y
)
;

(p+q)阶中心矩为 *μ_{pq}* =

∑

M
−
1

x
=
0

∑

N
−
1

y
=
0

(
x
−
x
¯)

p

(
y
−
y
¯)

q

f
(
x
,
y
)

x
¯
=

m

10

m

00

,

y
¯
=

m

01

m

00

归一化(p+q)阶中心矩为

η

p
q

=

m

p
q

μ

(
p
+
q
)

/
2
+
1

主成分描述子

x 是 n 维列向量,总体平均向量*m_x* = *E*(*x*),向量总体的协方差矩阵(nxn)*C_x* = *E*{(*x* − *m_x*)(*x* − *m_x*)^{*T*}}
霍特林变换:令 A 是一个矩阵，这个矩阵的各行由 Cx 的特征向量构成;*y* = *A*(*x* − *m_x*)
可以证明：*m_y* = *E*{*y*} = 0

y 的协方差矩阵: *C_y* = *AC_xA^T*; *C_y* =

[

λ

1

λ

2

⋱

0

λ

n

]

 对角

阵对角元。
可通过 *y* 恢复 *x*：*x* = *A*^{−1}*y* + *m_x* = *A^T**y* + *m_x*
近似恢复 *x*：*â* = *A_k^T**y* + *m_x*
代表 *k* 个最大特征值的 *k* 个特征向量形成的矩阵。
恢复误差：*e_{ms}* =

∑

n

j
=
1

λ

j

−

∑

k

j
=
1

λ

j

=

∑

j
=
k
+
1

n

λ

j